



Figura 1. Diagrama teórico de las paleocañadas de Santa Fe (tomado de Pasotti 1974).
Figure 2. Theoretical diagramm of the paleocañadas of Santa Fe (after Pasotti 1974).

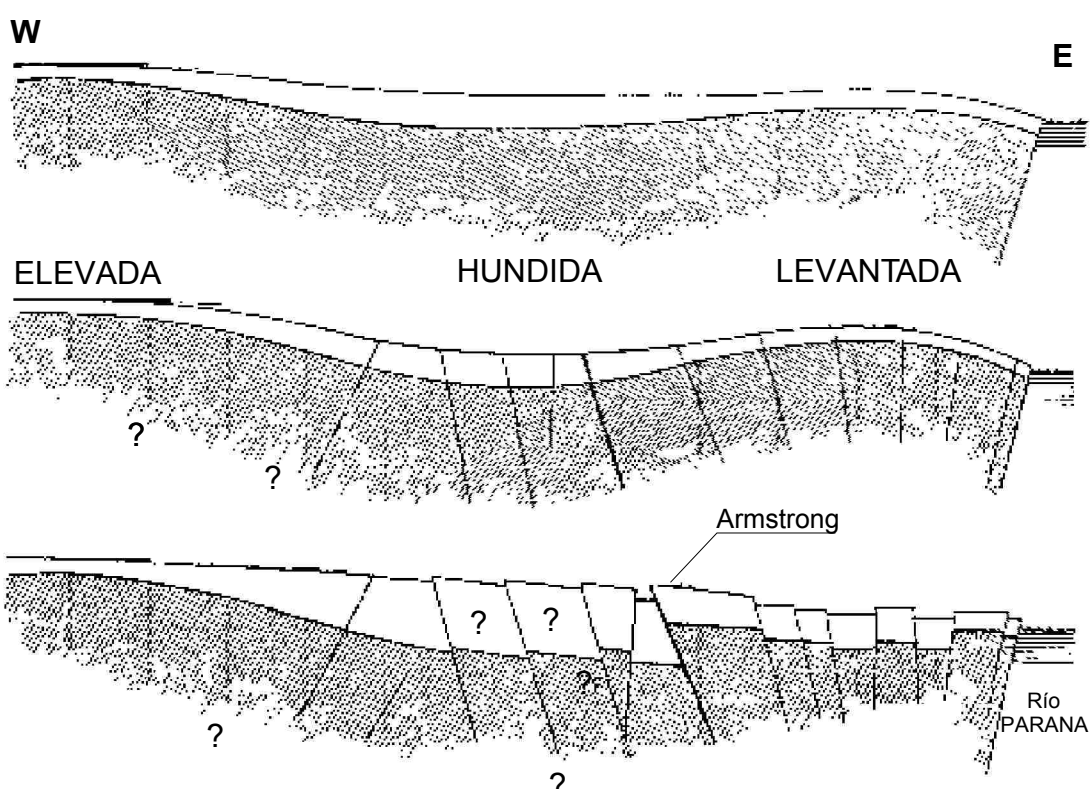


Figura 2. Diagrama esquemático de la evolución de los pliegues de gran radio de curvatura y las fracturas de la Pampa santafesina (tomado de Pasotti 1986).
Figure 2. Diagramm showing the evolution of great curvature ratio offolding and rift of the Pampa santafesina (after Pasotti 1986).

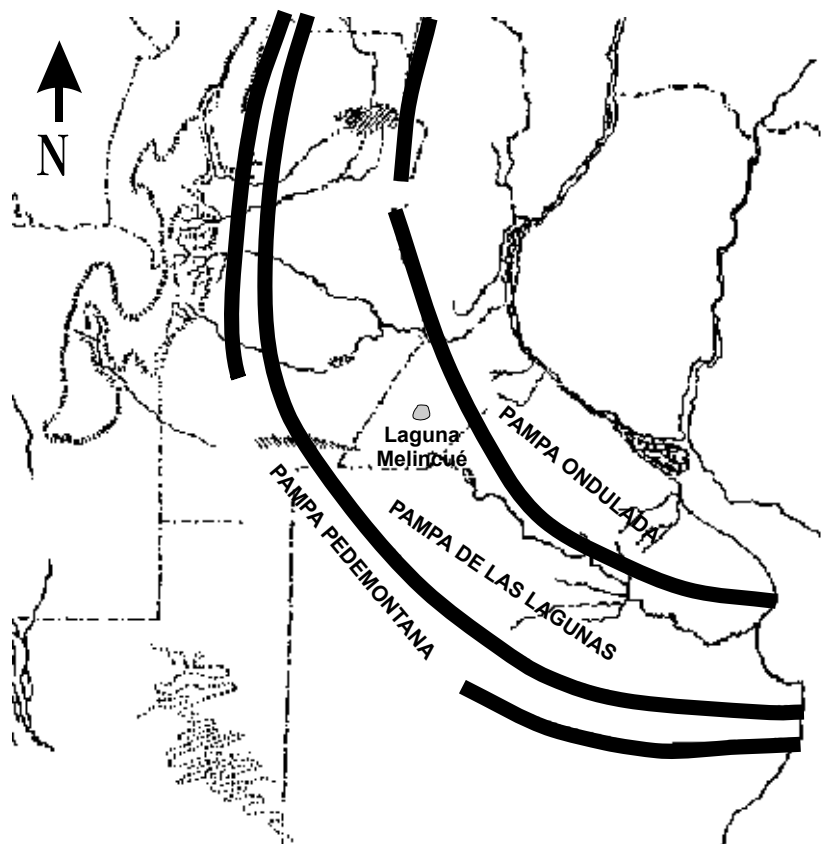


Figura 3. Pampas Ondulada, de las Lagunas y Pedemontana delimitadas por geofracturas (tomado de Pasotti & Castellanos 1967).

Figure 3. Pampas Ondulada, de las Lagunas and Pedemontana delimited by geofractures (after Pasotti 1974).

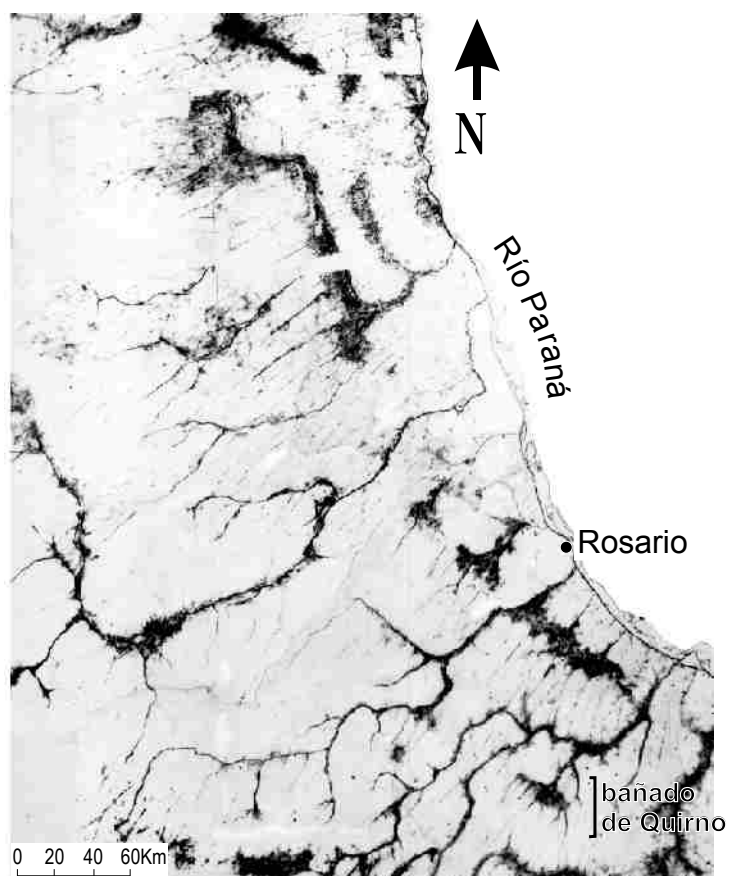


Figura 4. Zonas anegadizas del sector santafecino de la Pampa Levantada (tomado de Pasotti 1974).

Figure 4. Starvation zones of the Pampa Levantada in Santa Fe (after Pasotti 1974).

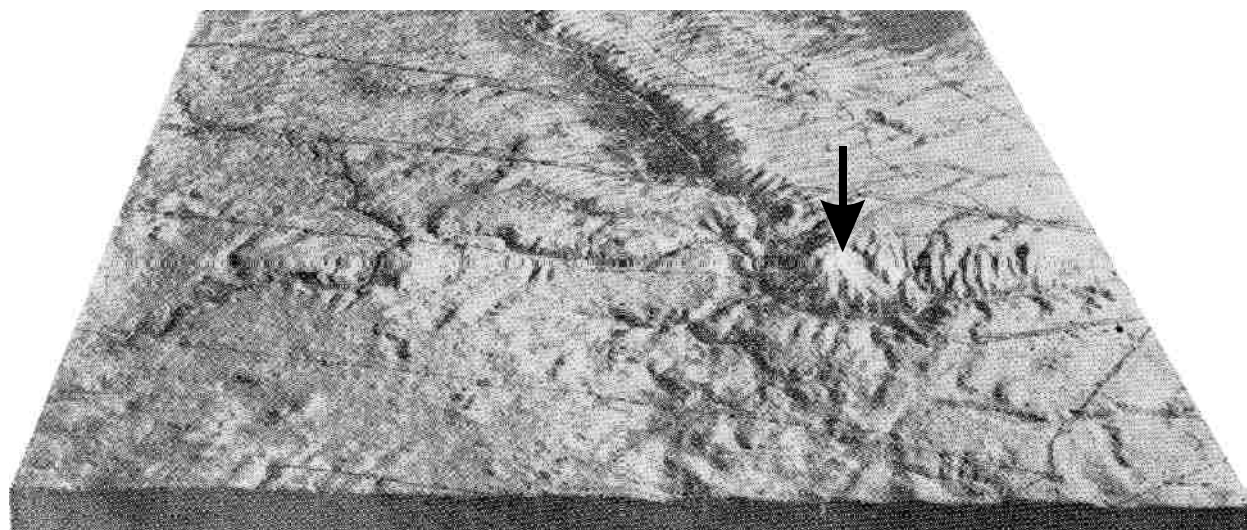


Figura 5. Maqueta del área del bloque de Armstrong y Cañada de San Antonio. La flecha señala el Morrito de Monasterio. (tomado de Pasotti & Castellanos 1963).

Figure 5. Mock-up model of the area of the Armstrong block and Cañada San Antonio. The arrow indicates the Morrito de Monasterio. (after Pasotti & Castellanos 1963).

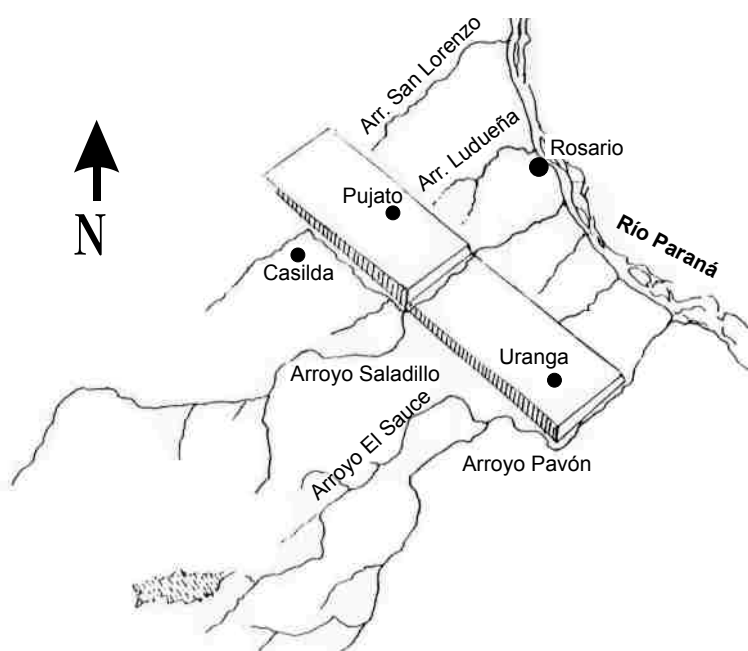


Figura 6. Diagrama del bloque tectónico Pujato-Uranga y las redes hidrográficas asociadas. (tomado de Pasotti 1992).

Figure 6. Diagramm of the tectonic block Pujato-Uranga and the associated hydrographic nets. (after Pasotti 1992).

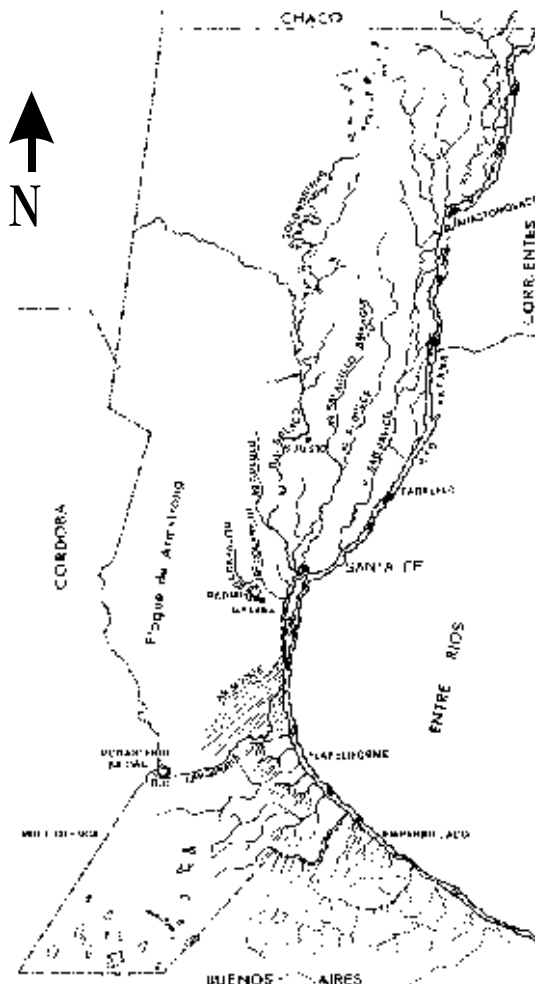


Figura 7. Redes hidrográficas principales de la provincia Santa Fe. (tomado de Pasotti 1976).

Figure 7. Main hydrographic nets of the province Santa Fe. (after Pasotti 1976).

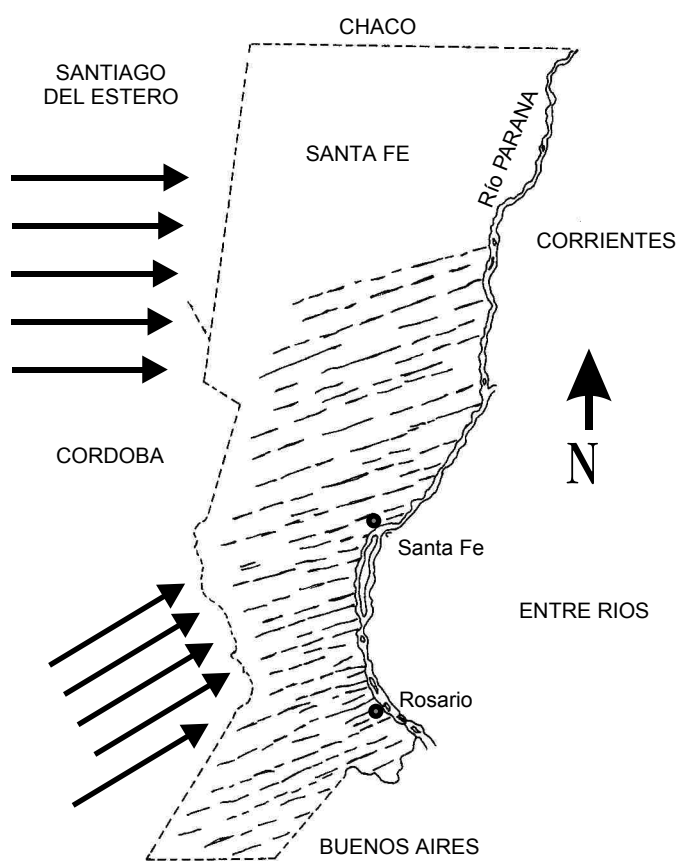


Figura 8. Diagrama de las presiones producidas por las placas tectónicas situadas al Oeste de Santa Fe.

Figure 8. Diagramm of pressures produced by the tectonic plates situated West of Santa Fe.

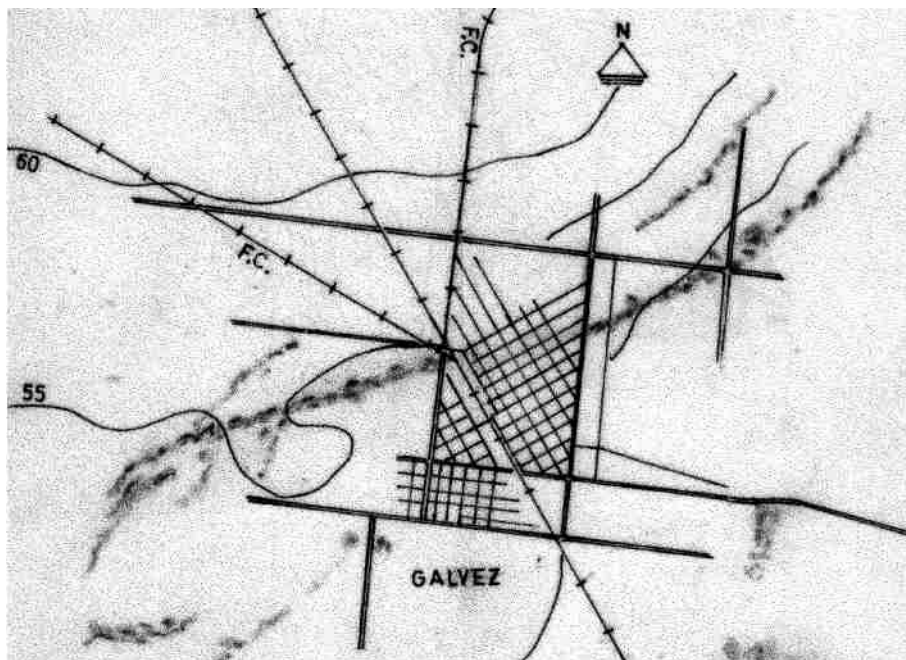


Figura 9. Ciudad de Gálvez y las paleocañadas que la cruzan.
Figure 9. Gálvez city and the crossing over paleocañadas.

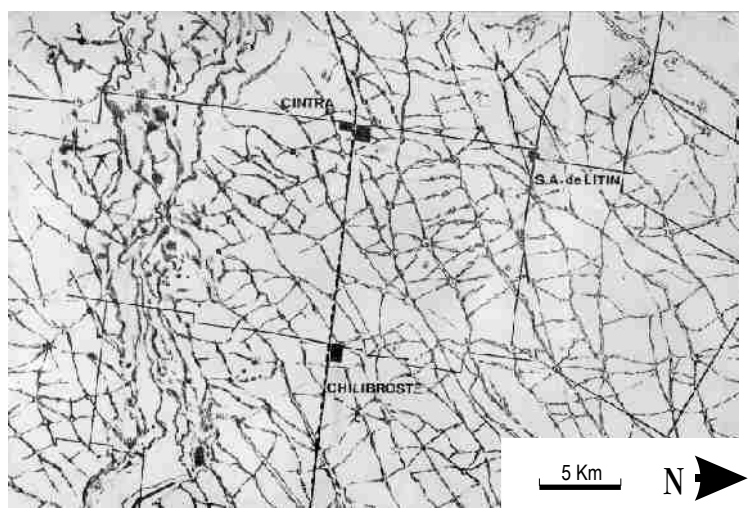


Figura 10. Redes en forma de malla con lagunas estrelladas en la Llanura de Córdoba. (tomado de Pasotti 1972).
Figure 10. Nets of the Llanura de Córdoba. (after Pasotti 1972).

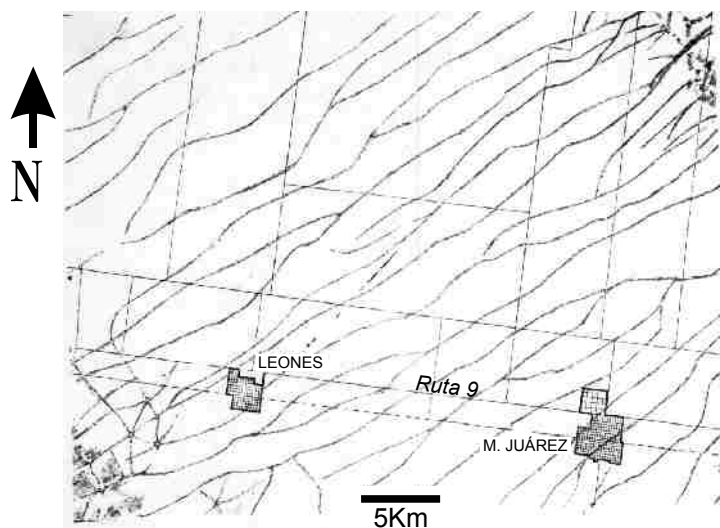


Figura 11. Sector de la provincia de Córdoba con las cañadas que cruzan la ciudad de Marcos Juárez indicadas. (tomado de Pasotti 1963).

Figure 11. Sector of de Córdoba province with the "cañadas" crossing the Marcos Juárez city indicated. (after Pasotti 1963).

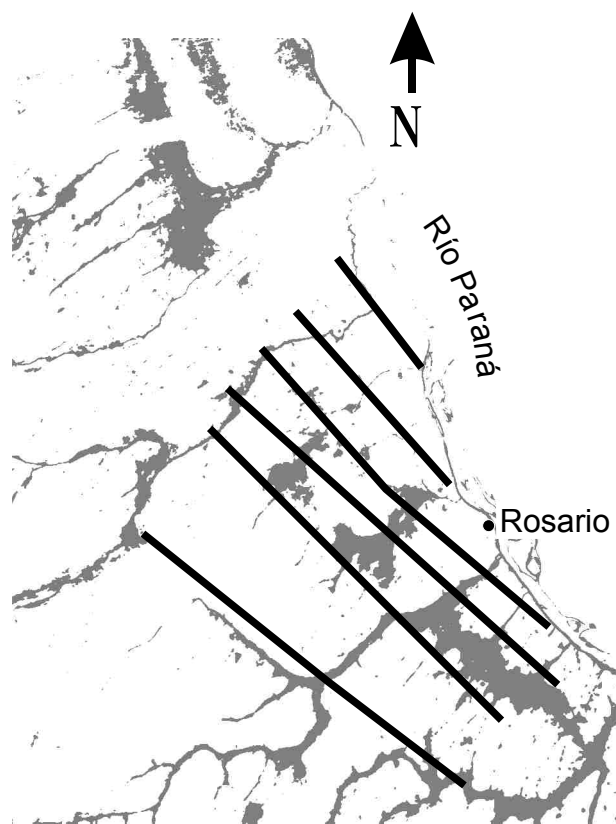


Figura 12. Fracturas que surcan toda el área del Gran Rosario, Santa Fe.

Figure 12. Fractures surrounding the area of Gran Rosario, Santa Fe.



Figura 13. El Codo de Berreta del Río Carcarañá, Santa Fe. (tomado de Pasotti & Albert 1991).

Figure 13. The Codo de Berreta of the Carcarañá River (After Pasotti & Albert 1991).



Figura 14. Codo del Camping del Automóvil Club Argentino y comienzo del tramo al NNW del Río Carcarañá. (tomado de Pasotti & Albert 1995).

Figure 14. Codo del Camping of the Automóvil Club Argentino and beginning of NNW segment of the Carcarañá River. (after Pasotti & Albert 1995).



Figura 15. Triple Codo de Andino del Río Carcarañá. (tomado de Pasotti & Albert 1995).

Figure 15. The Triple Codo de Andino of the Carcarañá River: (after Pasotti & Albert 1995).

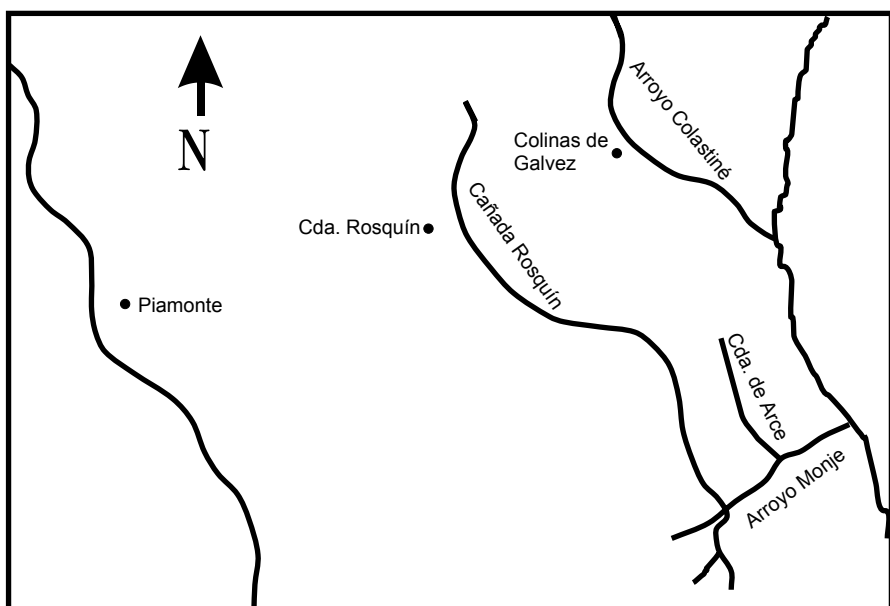


Figura 16. El arco de Piamonte, provincia Santa Fe. (tomado de Pasotti 1986).

Figure 16. The Piamonte arch, Santa Fe province. (after Pasotti 1986).

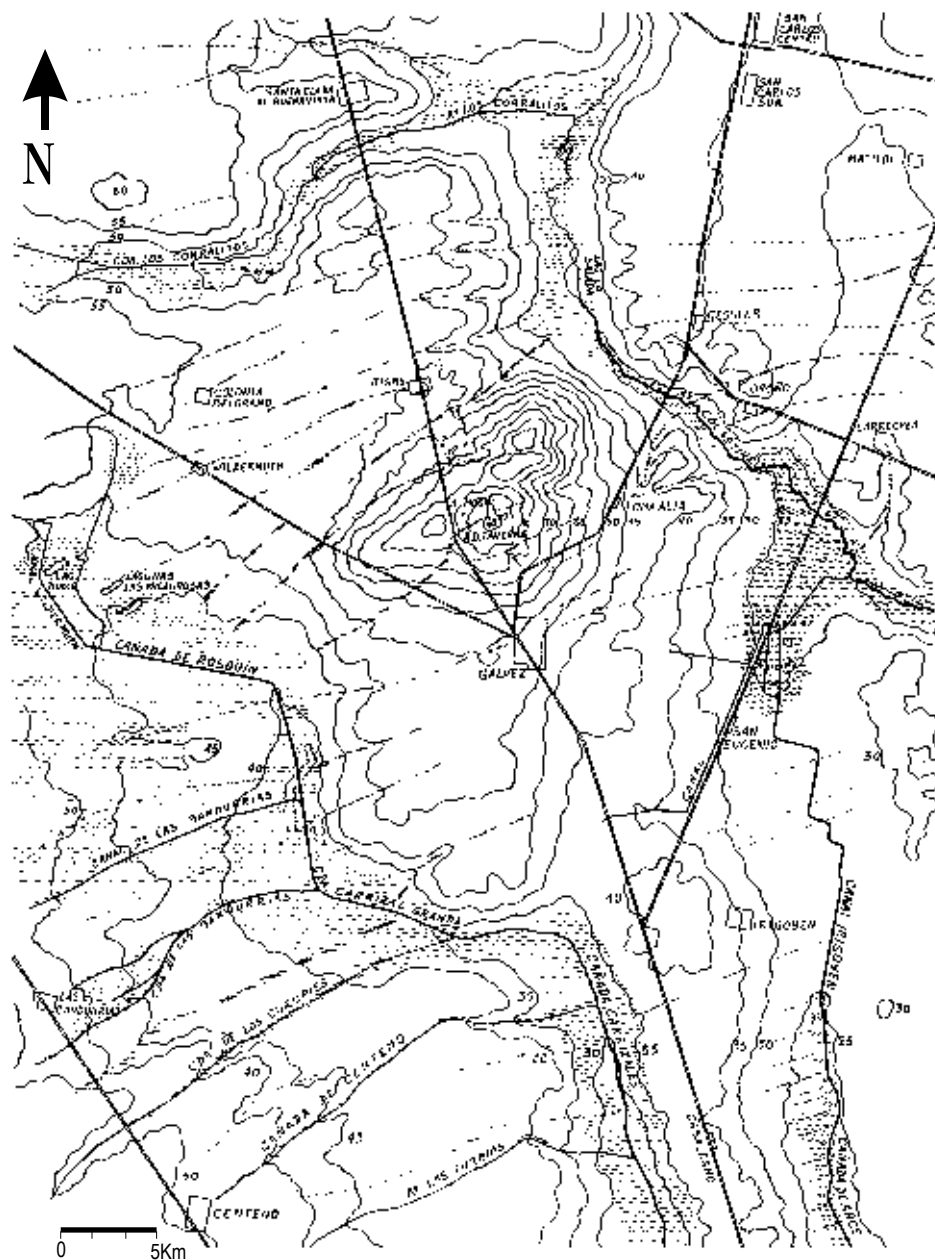


Figura 17. Mapa de un sector de la Llanura Santafecina en el que se destaca la zona colinosa de Gálvez (tomado de Pasotti 1966).

Figure 17. Map of a sector of the Llanura Santafecina showing the hills of Gálvez (after Pasotti 1966).